

روش‌ها: در این مقاله پس از انجام مطالعات کتابخانه‌ای، یک الگوریتم نموداری برای یافتن کوتاهترین فاصله زمانی بین هر دو نقطه مفروض در یک شبکه ترافیک شهری و نیز تعیین مسیر متناظر با کوتاهترین فاصله زمانی بین هر زوج از نقاط مذکور ارائه شده است. این الگوریتم از تلفیق الگوریتم برنامه‌ریزی پویای فلوید-وارshall به منظور یافتن کوتاهترین فاصله زمانی، الگوریتم پای (π) برای تعیین مسیر متناظر با کوتاهترین فاصله زمانی و تابع دیویدسون برای در نظر گرفتن زمان انتقال در جریان‌های متغیر تدوین شده است. سپس با استفاده از مطالعات میدانی و جمع‌آوری اطلاعات ترافیکی الگوریتم مذکور بر روی شبکه ترافیکی پیاده‌سازی شده است.

یافته‌ها: الگوریتم معرفی شده بر روی شبکه ترافیک بخش مرکزی شهر شاهroud اجرا شده و کوتاهترین فاصله زمانی و مسیر متناظر با آن بین دو نقطه مفروض از شبکه ترافیکی شهر جهت گسیل سریع وسایل نقلیه امدادی تعیین شده است.

نتیجه‌گیری: با کمک روشی که در این مقاله ارائه شده، سریع‌ترین مسیرهای دسترسی از یک نقطه خاص به نقطه‌ای دیگر برای گسیل اتومبیل‌های اورژانس و دیگر وسایل نقلیه امدادی، مشخص شده است.

کلمات کلیدی: امداد و نجات، ترافیک، کوتاهترین

فاصله

ارائه یک الگوریتم نموداری برای یافتن سریع‌ترین مسیرهای امداد و نجات در شبکه ترافیک شهری

سید محمد اسماعیل جلالی^۱، مهدی نوروزی^۲

سیدفرخ فرونه‌نده^۳، محیا سادات یاسینی^۴

۱- دانشیار دانشگاه صنعتی شاهroud

۲- نویسنده مسئول: دانشجوی دکترای دانشگاه صنعتی شاهroud

۳- عضو هیات علمی دانشگاه صنعتی شاهroud

۴- دانشجوی کارشناسی ارشد دانشگاه پیام نور شهرری

دریافت: ۹۱/۶/۱۹ پذیرش: ۹۱/۱۲/۱

چکیده

مقدمه: به طور کلی حمل و نقل روان، مؤثر و ایمن، یکی از زیرساخت‌های لازم برای توسعه صنایع، افزایش سطح رفاه و ارایه خدمات امدادی در هر کشور است. در شبکه‌های شلوغ ترافیکی یافتن بهترین مسیرها برای ارایه خدمات امدادی و اعزام اورژانس اهمیت ویژه‌ای دارد. در سال‌های اخیر با توسعه سریع سیستم‌های هوشمند حمل و نقل، علاقه‌مندی زیادی در زمینه مدل‌سازی و تعیین مسیرهای بهینه برای ارایه خدمات امداد و نجات در شبکه‌های حمل و نقلی که دارای رفتار پویا و جریان متغیر با زمان هستند، بوجود آمده است.

مقدمه

نصب می‌شود عمل می‌کنند. هم اکنون در عرصه اینمنی، تجهیزات می‌دی^۲ در آمریکا در حال توسعه است. این تجهیزات می‌توانند موقعیت تصادف را شناسایی و ضمن ارسال اطلاعات لازم به مرکز کنترل، کمک‌های خاص برای امدادارسانی به وسایل نقلیه درگیر در تصادف را درخواست و از این طریق سرعت امدادارسانی را افزایش دهد. در آمریکا دولت فدرال در طی ۶ سال (۱۹۹۸ تا ۲۰۰۳) حداقل ۲ میلیون دلار برای ITS اختصاص داده است. کشور ژاپن از سال ۱۹۷۳ تا سال ۱۹۷۸ با استفاده از برنامه راهنمای مسیر، سیستم ارتباطات خودرویی را راهاندازی کرد. اجرای پروژه راه هوشمند در ژاپن با توجه به مساحت کم و جمعیت زیاد این کشور، از سال ۲۰۰۰ با اجرای آزمایشی سیستم شروع شده است. راه هوشمند شامل سیستم‌های ارتباطی بین جاده، وسیله نقلیه، سنسورها و شبکه فیبر نوری نصب شده در جاده و همچنین چارچوبی برای یکپارچه کردن عملکرد اجزای مختلف سیستم در محدوده وسیعی از خدمات ITS است.

دولت ژاپن در بخش تحقیقات، بیش از ۲/۱ میلیون دلار برای استراتژی حمل و نقل هوشمند در طی سه سال (۱۹۹۶ تا ۱۹۹۸) بودجه اختصاص داده که از آن مربوط به بخش تحقیق و توسعه است. در کره جنوبی انجمن ITS در سال ۱۹۹۹ تشکیل و شروع به فعالیت نموده است. طرح پایه حمل و نقل هوشمند در کره جنوبی به سه برنامه اصلی تقسیم شده است: ۱- برنامه کوتاه مدت (۱۹۹۶ تا ۲۰۰۰) شامل پایه‌ریزی معماری سیستم پایه و اجرای یک سیستم آزمایشی در

یکی از زیرساخت‌های لازم برای افزایش سطح رفاه اجتماعی در هر کشور وجود حمل و نقل روان و ایمن است. هم‌اکنون طراحی و بهره‌برداری از سیستم‌های حمل و نقل هوشمند^۱ (ITS) به عنوان یک سیاست کلی در کشورهای پیشرفته نظیر آمریکا، ژاپن و بعضی از کشورهای اروپایی مطرح است. سیستم‌های هوشمند حمل و نقل شامل سیستم‌های پیشرفته کنترل ترافیک هستند که از سه بخش دریافت اطلاعات، پردازش آنها و ارایه نتایج حاصل از پردازش، تشکیل شده است (۱).

سیستم‌های راهبری خودکار توانایی برقراری ارتباط هوشمند با مرکز کنترل ترافیک را دارند. در این سیستم‌ها اطلاعات بصورت پویا تبادل می‌شوند، بدین ترتیب که وسیله نقلیه موقعیت و مسیر خود را در هر لحظه به مرکز کنترل ترافیک ارسال کرده، سپس اطلاعات ترافیکی مربوط به مسیر را از این مرکز دریافت می‌کند. بدین ترتیب سیستم با داشتن اطلاعات ترافیکی مسیر مورد نظر، بهترین مسیر را انتخاب می‌کند.

از اواخر دهه ۶۰ میلادی پروژه‌های گسترده‌ای در خصوص ITS در آمریکا اجرا شد که از آن جمله می‌توان به پروژه‌های سیستم راهنمای الکترونیکی مسیر، سیستم کنترل ترافیک شهری، سیستم راهنمای سبقت و سیستم اعلام خطر فلاش اشاره نمود. در حال حاضر تجهیزات داخل وسیله نقلیه در ایالات متحده در حال گسترش است و براساس سیستم مکان‌یابی جهانی (GPS) و نقشه دیجیتالی که در داخل وسیله

² Mayday

^۱ Intelligent Transport Systems

نصب شناسگرهای ترافیکی در معابر تهران به منظور اخذ آمار تردد و سایل نقلیه، نصب و راهاندازی تعداد محدودی تابلوی نمایشگر متغیر در آزادراه‌ها و بزرگراه‌ها به منظور اطلاع‌رسانی به رانندگان در مورد وضعیت ترافیک در آن مسیر انجام داده است. در سطح برون شهری، اولین سیستم مورد استفاده که به نوعی از زیرسیستم‌های حمل و نقل هوشمند می‌باشد، نصب و راهاندازی سیستم امدادرسانی اتوماتیک در مسیر تهران-اصفهان در سال ۱۳۷۳ است. از جمله پروژه‌های اجرا شده دیگر، نصب و راهاندازی تعداد ۱۰۰ شناسگر تردد و سایل نقلیه در راههای برون شهری در سال ۱۳۷۴ است که در حال حاضر بنا به دلایل مختلف تعدادی از آنها فقط برای آمارگیری ثابت در محورها بکار می‌رond.^(۳).

توسعه و ارتقای کیفی خدمات ترافیک در جامعه به موازات رشد سریع استفاده از *IT* در حمل و نقل، باعث ارتقای سطح زندگی مردم و بهبود اینمی راهها می‌شود. در دهه‌های اخیر، سالانه هزینه‌های هنگفتی ناشی از ترافیک سنگین در راه‌ها شامل هزینه زمان تلف شده، استهلاک وسایل نقلیه و مصرف سوخت بر دولت‌ها وارد می‌شود.^(۴) نمونه‌هایی از نتایج کاربرد سیستم‌های راهبری هوشمند در حل مشکل ترافیک و سود اقتصادی حاصل از آن در چند شهر بزرگ دنیا در جدول شماره ۱ بیان شده است.^(۵)

کلان شهر سئول، ۲ - برنامه میان‌مدت (۲۰۰۱ تا ۲۰۰۵) شامل توسعه یک سیستم مناسب با شرایط کشور و شهرهای با جمعیت زیاد ۳ - برنامه بلند مدت (۲۰۱۰ تا ۲۰۱۶) شامل ارتقای سیستم و توسعه طرح در سراسر کشور.

در اروپا دو سازمان فرامیلتی به نام‌های یورکا^۳ و ارتبکو^۴ در زمینه حمل و نقل هوشمند فعالیت دارند. یورکا در سال ۱۹۸۵ تأسیس گردید و اجراکننده برنامه پرومتس (برنامه‌ای قوی برای کاربرد فناوری اطلاعات در درون خودرو) می‌باشد. ارتبکو در سال ۱۹۹۱ در بلژیک تأسیس شد و با یک برنامه‌کاری در حال توسعه، خدمات و سیستم‌های حمل و نقل هوشمند در اروپا را بر عهده دارد. در سیدنی استرالیا نیز سیستم *ITS* توانسته ترافیکی نزدیک به ظرفیت یک آزادراه را از یک خیابان شریانی شهری عبور دهد.^(۲)

در ایران اولین سیستم کنترل هوشمند چراغ‌های راهنمایی در سال ۱۳۷۱ در تهران نصب شد. در سال ۱۳۷۶ به منظور ساماندهی تردد در معابر شهری تهران، سیستم کنترل مرکزی *SCATS* راهاندازی گردید. این سیستم با استفاده از اطلاعات دریافتی از شناسگرهای وسایط نقلیه و عابر پیاده، زمان‌بندی چراغ‌ها را بر اساس حجم لحظه‌ای ترافیک تنظیم می‌نماید. همچنین شرکت کنترل ترافیک تهران از جمله پیشگامان استفاده از تکنولوژی‌های *ITS* فعالیت‌هایی از جمله اعلام وضعیت ترافیک معابر در اوقات مختلف شباهه روز به رانندگان از طریق شبکه رادیویی، طراحی، ساخت و

³European Research Coordination Agency (EUREKA)

⁴European Road Transport Telemetric Implementation Coordination Organization (ERTICO)

جدول ۱: تأثیر کاربرد سیستم‌های ترافیکی هوشمند در بهبود شاخص‌های ترافیکی (۵)

| ردیف | کشور | شهر | صرفه‌جویی در مصرف درصد کاهش زمان | صرفه‌جویی در مصرف درصد کاهش توقف | سوخت | تأثیر |
|------|----------|-----------|-------------------------------------|-------------------------------------|----------|-----------|
| ۱ | آمریکا | ارلاندو | ۵۶ درصد | ۵۶ درصد | --- | ۵۶ درصد |
| ۲ | آمریکا | لوس آنجلس | ۴۱ درصد | ۴۱ درصد | ۱۳ درصد | ۴۴ درصد |
| ۳ | کانادا | تورنتو | ۲۲ درصد | ۲۲ درصد | ۵/۷ درصد | ۸ درصد |
| ۴ | فرانسه | پاریس | ۳۰ درصد | ۳۰ درصد | ۱۰ درصد | ۲۰ درصد |
| ۵ | استرالیا | سیدنی | --- | --- | ۳۰ درصد | --- |
| ۶ | آمریکا | ویرجینیا | ۵/۲۵ درصد | ۵/۲۵ درصد | ۳/۷ درصد | ۲/۲۵ درصد |

به لحاظ منطقی و ساختاری، ارائه جواب بهینه را تضمین می‌کنند. این الگوریتم قادر است مشخصات عمومی جریان‌های ترافیکی را نیز منظور و در هر لحظه اطلاعات مورد نیاز را از مرکز کنترل ترافیک دریافت و پس از تحلیل آنها سریع‌ترین مسیر بین دو نقطه معلوم از شبکه را مشخص نماید.

سپس با استفاده از مطالعات میدانی انجام شده در یک شبکه ترافیکی خاص به جمع‌آوری اطلاعات ترافیکی پرداخته شده است. در نهایت الگوریتم ارائه شده با اطلاعات میدانی جمع‌آوری شده تلفیق و بر روی شبکه ترافیکی پیاده‌سازی شده است.

برای اجرای این الگوریتم یک برنامه کامپیوتری در MS-Excel تدوین شده است که می‌تواند یک ماتریس مربعی 200×200 (که معادل یک شبکه ترافیکی با ۲۰۰ گره است) را به عنوان ورودی بپذیرد. برنامه مذکور به صورت اولیه و ساده و صرفاً برای تحلیل مدل تشریح شده در این مقاله، که دارای ۳۱ گره است، تدوین شده است. زمان اجرای این برنامه

هم‌اکنون توانایی ITS برای ایجاد تحول در وضعیت حمل و نقل به اثبات رسیده و اکثر کشورهای پیشرفته، توسعه ITS را در رأس برنامه‌های حمل و نقل خود قرار داده‌اند. ایران نیز جهت برخورداری از مزایای منحصر به فرد این سیستم باید در اولین فرصت، ضمن اولویت‌بندی نیازهای حمل و نقل کشور، اقدام به تهیه و تدوین سیستم حمل و نقل هوشمند نماید. در این مقاله سعی بر طراحی معماری نوعی سیستم پایه ITS و کاربرد آن برای هدف خاص امدادرسانی است.

روش‌ها

یک مدل ترافیکی خوب باید ویژگی‌های اساسی جریان‌های ترافیکی را منعکس کرده و دارای مبانی لازم برای برنامه نویسی ریاضی باشد (۶).

در این مقاله پس از انجام مطالعات کتابخانه‌ای، یک الگوریتم پویا به منظور تعیین مسیر بهینه با کمترین زمان لازم برای سفر در یک شبکه ترافیکی، ارائه شده است. این الگوریتم از پشتوانه غنی ریاضی مبتنی بر منطق برنامه‌ریزی پویا بهره می‌برد. اینگونه الگوریتمها

برای در نظر گرفتن جریان های متغیر با زمان، "کله‌ر و اسکوتلا"^{۱۰} (۱۶) و "کاترینا لانگکو"^{۱۱} (۶) مدل-هایی ارائه کردند که در آن، زمان انتقال و سرعت در هر مسیر به مقدار بار آن مسیر بستگی دارد.

اخیراً نیز الگوریتم هایی برای مساله کوتاه‌ترین مسیر در یک شبکه گرافی برای حل بسیاری از مشکلاتی که در جهان واقعی وجود دارد، ارائه شده است. از آن جمله می‌توان به الگوریتم ارائه شده توسط جلالی و نوروزی برای تعیین مسیر بهینه گریز در شبکه معادن زیرزمینی در موقع اضطراری (۱۷)، مسیریابی وسایل نقلیه در حمل و نقل (۱۸)، مسیریابی ترافیک در شبکه ارتباطات (۱۹)، سیستم‌های دریافت پیام (۲۰) و جستجوی صفحات وب (۲۱)، اتصال نوتهای موسیقی و ساخت موزیک (۲۲) و مسیریابی جاده‌های بین شهری (۲۳) اشاره نمود.

در هر حال، اغلب راه حل‌هایی که تاکنون ارائه شده است مبنی بر الگوریتم‌های موجود برای یافتن کوتاه‌ترین مسیرها است، از جمله:

- الگوریتم دیکسټرا: برای حل مساله کوتاه‌ترین مسیر تک‌مبدأ در گرافی با وزن‌های غیرمنفی (۲۴).

- الگوریتم دابل سویپ: برای یافتن تعداد مشخصی مسیر کوتاه از یک مبدأ به دیگر نقاط در گراف (۲۵).

- الگوریتم‌های تک مسیره و دو مسیره: برای یافتن کوتاه‌ترین مسیرهای بین هر جفت گره در گراف (۲۶).

- الگوریتم‌های یافتن مسیرهای کوتاه (k): برای یافتن تعداد مشخصی مسیر کوتاه بین هر جفت گره در یک گراف (۲۷).

بر روی مدلی با ۲۰۰ گره، کسری از ثانیه بوده است. طبیعتاً برای کاربردهای عملی تر می‌توان این برنامه را با استفاده از یک زبان سطح بالا به منظور افزایش قابلیت‌های اجرایی و کاهش زمان اجرای آن بازنویسی نمود.

در عمل مشاهده شده که هنگام بروز ترافیک سنگین در یک مسیر، مسیرهای دیگری در همسایگی این مسیر وجود دارند که از ترافیک سبکتری برخوردار هستند. لذا همواره یافتن چنین مسیرهایی که موجب تعدیل ترافیک می‌شود، مورد توجه بوده است.

برای حل این مشکل و تسريع جریان روی مسیرها، راه حل‌هایی توسط "فورد و فولکرسون"^۱ (۷)، "گلدبرگ و تارجان"^۲ (۸)، "جان^۳ و همکاران"^۴ (۹) و نیز "رافگاردن و تاردوز"^۵ (۱۰) ارائه شده است. در این تحقیقات، زمان لازم برای عبور جریان از یک مسیر مشخص را در تمام مدت ثابت در نظر گرفته شده است؛ در حالی که عملاً زمان لازم برای عبور جریان از یک مسیر در زمان‌های مختلف در یک شبکه ترافیک، متفاوت است. تاکنون در زمینه ترافیک پویا الگوریتم‌ها و مدل‌هایی توسط محققین مختلف ارائه شده است که از آن جمله می‌توان به "جانسون"^۶ (۱۱)، "ران و بویس"^۷ (۱۲)، "جایاکریشنان"^۸ و همکاران^۹ (۱۳)، "کوفمن^{۱۰} و همکاران"^{۱۱} (۱۴) و "کری کری و سابررحمانیان"^{۱۲} (۱۵) اشاره کرد. همچنین

¹ Ford & Fulkerson

² Goldberg and Tarjan

³ Jahn

⁴ Roughgarden and Tardos

⁵ Janson

⁶ Ran and Boyce

⁷ Jayakrishnan

⁸ Kaufman

⁹ Carey and Subrahmanian

¹⁰ Kohler and Skutella
¹¹ Katharina Langkau

های ترافیکی نیز تأمین می‌گردد. در ادامه به تشریح اجزای مختلف الگوریتم ارائه شده پرداخته می‌شود.

مدل‌سازی شبکه

در این مقاله، شبکه ترافیکی به صورت یک گراف مدل‌سازی شده است. وزن‌های یال‌های یک گراف وزن‌دار و جهت‌دار با ماتریس هم‌جواری، W ، معرفی می‌شود. در این ماتریس اگر یالی بین دو رأس وجود داشته باشد، درآیه (i, j) از ماتریس W_{ij} ، یعنی w_{ij} برابر وزن یال بین دو رأس است. اگر یالی بین دو رأس وجود نداشته باشد، w_{ij} برابر با صفر منظور می‌شود. با بیان $i = j$ باشد، w_{ij} برابر با صفر منظور می‌شود. با بیان ریاضی، ماتریس هم‌جواری را می‌توان چنین تعریف کرد (۲۹):

$$w_{ij} = \begin{cases} 0 & i=j \\ (i, j) \in e, i \neq j \\ \infty & (i, j) \notin e, i \neq j \end{cases}$$

تابع زمان انتقال

تابع زمان انتقال، نشان دهنده زمان لازم برای عبور از یک مسیر خاص است. زمان انتقال به مقدار جریان ورودی به مسیر بستگی دارد. یکی از توابع زمان انتقال که اغلب در عمل استفاده می‌شود، تابع دیویدسون است که توسط رابطه زیر بیان می‌شود (۳۰):

$$\tau_a(x_a) = \tau_a^0 \left(1 + J \frac{x_a}{u_a - x_a}\right)$$

که در آن:

x_a : نرخ جریان ایستا روی مسیر (برابر میانگین تعداد وسائل نقلیه‌ی ورودی به مسیر در یک بازه زمانی).

- الگوریتم جانسون: برای حل مسئله کوتاه‌ترین مسیرها بین هر جفت گره در گراف‌های بزرگ (۲۸). الگوریتم ارائه شده در این مقاله بر روی یک شبکه گرافی پیاده‌سازی می‌شود که در آن خیابان‌ها نشان‌دهنده کمان‌های شبکه و تقاطع خیابان‌ها نشان‌دهنده گره‌های (رأس‌های) شبکه هستند. طبیعتاً یک مدل کارآمد باید مشخصات عمومی جریان‌های ترافیکی را شامل شود. بنابراین اولاً چون جریان ترافیکی پویا است، مدل باید پویا باشد زیرا مقدار ترافیک روی یک مسیر در طول روز با توجه به نیازهای رانندگان تغییر می‌کند. بنابراین ممکن است یک مسیر در ساعتی از روز خلوت و در ساعتی دیگر تراکم جریان در آن مسیر زیاد باشد. ثانیاً زمان سفر باید به مقدار جریان ورودی به مسیر در لحظه ورود وابسته باشد، به این معنی که هر چقدر مقدار ورودی جریان به یک مسیر بیشتر باشد زمان لازم برای عبور از آن مسیر نیز بیشتر در نظر گرفته شود.

در این مقاله، الگوریتم ارائه شده از تلفیق الگوریتم برنامه‌ریزی پویای فلوید-وارشال، الگوریتم پای (π) و تابع دیویدسون حاصل شده است. در این الگوریتم، از الگوریتم‌های فلوید وارشال و π به منظور یافتن سریع‌ترین مسیرها استفاده شده است که از منطقه برنامه‌ریزی پویا بهره‌مند باشد. با کاربرد این الگوریتم‌ها، در واقع مشخصه اول جریان‌های ترافیکی ارضا می‌شود. همچنین از تابع زمان انتقال برای تعیین زمان عبور از یک مسیر خاص که به مقدار جریان ورودی به آن مسیر در لحظه ورود بستگی دارد، استفاده شده است. بدیهی است در این شرایط مشخصه دوم جریان-

$d_{ij}^{(0)} = w_{ij}$ است. رابطه بازگشتی زیر می‌تواند برای محاسبه مقادیر $d_{ij}^{(k)}$ به ترتیب افزایش مقادیر k استفاده شود. ورودی، ماتریس هم‌جواری، یعنی W ، با ابعاد $n \times n$ است.

$$d_{ij}^{(k)} = \begin{cases} w_{ij} & k=0 \\ \min[d_{ij}^{(k-1)}, (d_{ik}^{(k-1)} + d_{kj}^{(k-1)})] & k \geq 1 \end{cases}$$

چون برای هر مسیر، همه رأس‌های میانی در مجموعه $\{1, 2, \dots, n\}$ واقع هستند، بنابراین (۲۸):

$$D^n = (d_{ij}^{(n)})$$

درآیه (i, j) از ماتریس D^n نشان دهنده کمترین فاصله زمانی بین گره i و گره j در حرکت از گره i به گره j است.

الگوریتم π

هم‌زمان با محاسبه ماتریس‌های $D^{(k)}$ در الگوریتم فلوید-وارشال می‌توان ماتریسی که به نام ماتریس ماقبل یا ماتریس π معروف است را نیز محاسبه کرد.

$\pi_{ij}^{(k)}$ به عنوان ما قبل رأس j در کوتاهترین مسیر از رأس i به رأس j را رأس‌های میانی واقع در مجموعه $\{1, 2, \dots, k\}$ تعریف می‌شود. هر یک از درآیه‌های این ماتریس نشان دهنده شماره گره‌ای است که بر روی کوتاهترین مسیر و دقیقاً قبل از گره j واقع است. وقتی $k=0$ است، سریع‌ترین مسیر از i به j هیچ رأس میانی ندارد. بنابراین:

$$\pi_{ij}^{(0)} = \begin{cases} N & w_{ij} = \infty, i=j \\ i & w_{ij} < \infty, i \neq j \end{cases}$$

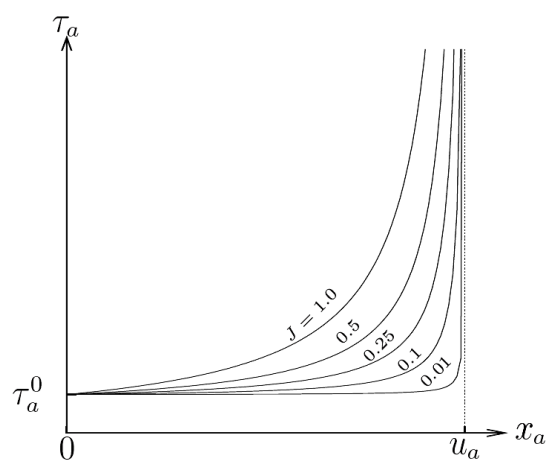
که در آن N نشان می‌دهد که گره‌ای قبل از گره j وجود ندارد.

τ_a^0 : مدت زمان طی مسیر توسط یک واحد جریان در شرایط مسیر خالی.

u_a : ظرفیت مسیر (برابر حداکثر تعداد وسائل نقلیه ورودی به مسیر در یک واحد زمانی)

J : ضریب ثابت (در این تابع بین صفر و یک)

در شکل شماره ۱ نمایش ترسیمی تابع دیویدسون به ازای مقادیر متفاوت J نشان داده شده است.



شکل شماره ۱: نمودارهای متناظر با تابع دیویدسون (۲۸)

الگوریتم فلوید-وارشال

الگوریتم فلوید-وارشال برای حل مسئله کوتاهترین مسیرها بین هر جفت از رئوس یک گراف جهت‌دار بکار می‌رود. این الگوریتم از رابطه بین مسیر p که در آن p مسیری منتهی به یکی از رئوس میانی در مسیرهای محتمل از رأس i به رأس j است، استفاده می‌کند. اگر $d_{ij}^{(k)}$ وزن کوتاهترین مسیر از رأس i به رأس j باشد که برای آن همه رأس‌های میانی در مجموعه $\{1, 2, \dots, k\}$ قرار دارند، وقتی که $k=0$ باشد، مسیر از رأس i به رأس j ، هیچ رأس میانی ندارد. چنین مسیری حداکثر یک یال دارد و از این رو

مشخص شود. با فرض اینکه مقدار این درآیه k باشد، مسیر تا اینجا به صورت زیر تکمیل شده است:

$$i \rightarrow j \rightarrow k \rightarrow ? \dots ? \rightarrow i$$

اکنون باید مسیر بین i و k مشخص شود. درآیه $\pi_{i,k}^{(n)}$ از ماتریس $\pi^{(n)}$ تعیین می‌شود. با فرض اینکه مقدار این درآیه p باشد، مسیر به شکل زیر می‌شود:

$$i \rightarrow ? \dots ? \rightarrow p \rightarrow k \rightarrow j$$

این روند به همین ترتیب ادامه پیدا می‌کند. در صورتی که مقدار درآیه $\pi_{i,p}$ برابر i (که در واقع نشان دهنده شماره گره شروع مسیر است) شود، گره‌های واقع بر روی مسیر بهینه به صورت زیر تکمیل می‌شود:

$$i \rightarrow p \rightarrow k \rightarrow j$$

یافته‌ها

به منظور توصیف چگونگی کاربرد این الگوریتم برای تعیین سریع‌ترین مسیرهای امداد و نجات در شبکه ترافیک شهری، الگوریتم مورد نظر بر روی بخش مرکزی شهر شاهروд پیاده‌سازی شده است. به این منظور قسمتی از نقشه شاهرود که در برگیرنده قسمت مرکزی آن است و در شکل شماره ۲ نشان داده شده، رقومی شده است. برای پیاده‌سازی الگوریتم ارائه شده، نقشه رقومی منطقه به مدل گرافی تبدیل شده که پس از ساده‌سازی، در شکل شماره ۳ نشان داده شده است. در این شکل گره‌ها، محل تقاطع خیابان‌ها و یال‌ها، مسیر بین دو تقاطع را نشان می‌دهند. همچنین

برای $k \geq 1$ مسیر $j \rightarrow k \rightarrow i$ در نظر گرفته می‌شود که در آن $j \neq k$ است. عنصر ما قبل j همان عنصری است که به عنوان ماقبل j در کوتاه‌ترین مسیر از j به k با همه رأس‌های میانی واقع در $\{1, 2, \dots, k-1\}$ انتخاب می‌شود. در غیر اینصورت، همان ماقبل j انتخاب می‌شود که روی کوتاه‌ترین مسیر از i با همه رأس‌های میانی واقع در $\{1, 2, \dots, k-1\}$ انتخاب شده بود. به عبارت دیگر برای $k > 1$:

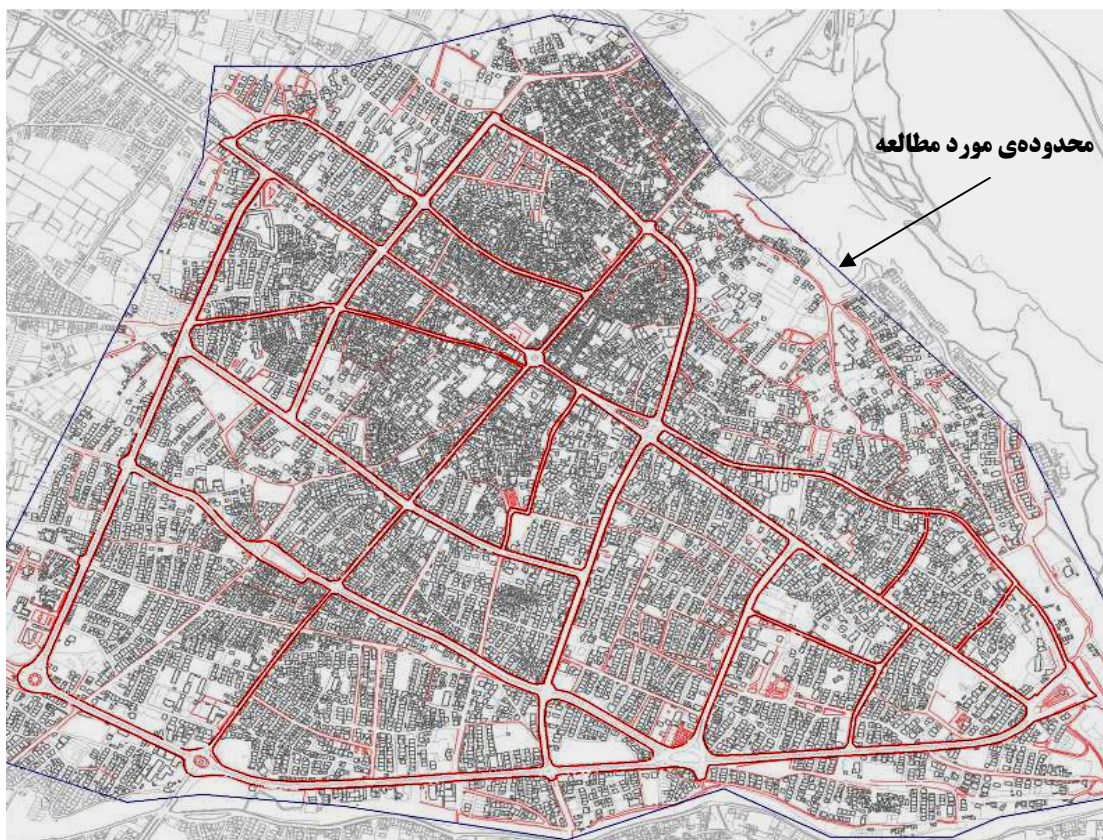
$$\pi_{ij}^{(k)} = \begin{cases} \pi_{ij}^{(k-1)} & d_{ij}^{(k-1)} \leq d_{ik}^{(k-1)} + d_{kj}^{(k-1)} \\ \pi_{kj}^{(k-1)} & d_{ij}^{(k-1)} > d_{ik}^{(k-1)} + d_{kj}^{(k-1)} \end{cases}$$

با استفاده از رابطه بالا و با مقداردهی به k از ۱ تا n می‌توان ماتریس $\pi_{ij}^{(k)}$ را محاسبه نمود (۲۸).

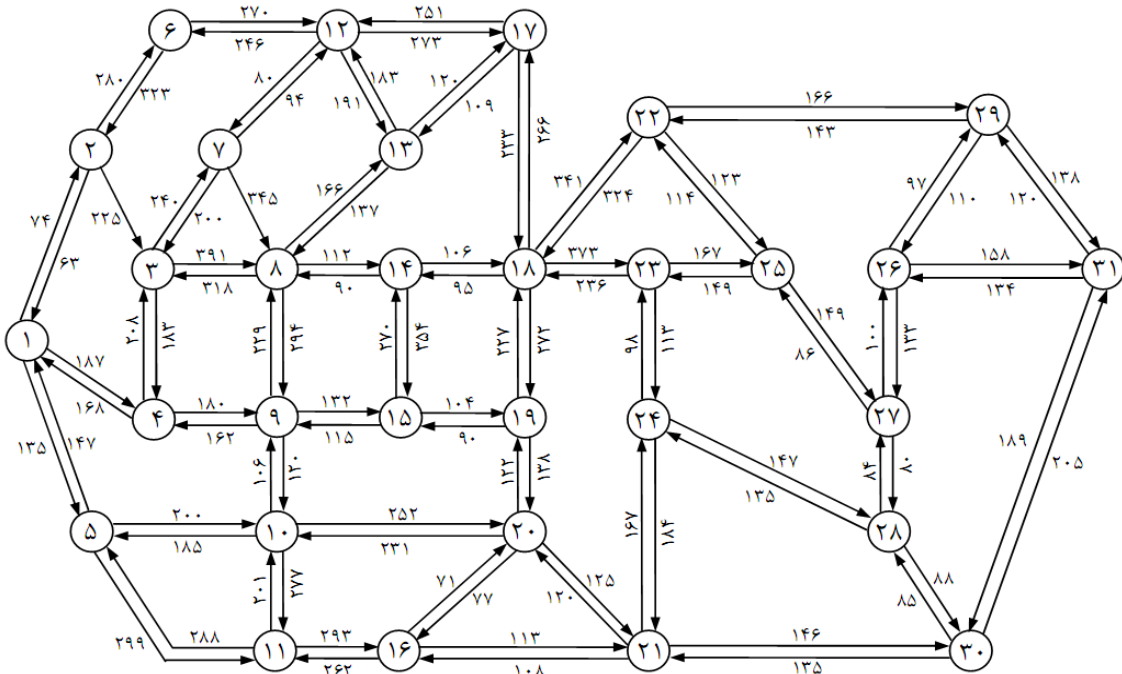
ماتریس $\pi^{(n)}$ به منظور یافتن کوتاه‌ترین مسیر منتظر با کمترین فاصله زمانی بین دو گره، گره‌های پشت سر هم در مسیر را به ترتیب از گره آخر به گره اول مشخص می‌کند. برای این منظور، ابتدا باید درآیه منتظر با مسیر مورد نظر از ماتریس $\pi^{(n)}$ مشخص شود. مقدار این درآیه بیانگر شماره گره ماقبل آخر است. اکنون، هدف یافتن مسیر بین گره‌های اول و ماقبل آخر است. بنابراین، باید در آیه مورد نظر از ماتریس $\pi^{(n)}$ مشخص شود. با مشخص شدن گرهی دیگر، مسیر کامل تر می‌شود. این روال به همین ترتیب ادامه پیدا می‌کند تا مقدار درآیه از ماتریس $\pi^{(n)}$ برابر شماره گرهی شروع مسیر شود. بدین ترتیب گره‌های واقع بر روی مسیر بهینه مشخص می‌شود. به عنوان مثال در صورتی که هدف یافتن کوتاه‌ترین مسیر بین گره‌های i و j باشد، باید درآیه $\pi_{i,j}^{(n)}$ از ماتریس

مسیر خاص توسط تابع دیویدسون محاسبه و بر روی یالهای گراف شکل شماره ۳ نشان داده شده است. الگوریتم مورد نظر بر روی گراف مدل‌سازی شده از شبکه ترافیک شهری اجرا شده و ماتریس‌های D و π برای این گراف به ترتیب در اشکال شماره ۴ و ۵ نشان داده شده است. با استفاده از این دو ماتریس می‌توان سریع ترین مسیر (کوتاه‌ترین فاصله زمانی) بین هر دو تقاطع از شبکه ترافیک را یافت. کوتاه‌ترین فاصله زمانی و مسیر متناظر با این فاصله زمانی بین برخی نقاط شبکه در جدول شماره ۲ ارائه شده است.

ارزش هر یال بیانگر زمان سفر از یک گره به گره دیگر است که توسط تابع زمان انتقال محاسبه شده است. بازه زمانی در تابع زمان انتقال برای مورد مطالعه شده یک دقیقه در نظر گرفته شده و همچنین سرعت متوسط ماشین در زمانی که مسیر خالی است، بین ۴۰ تا ۸۰ کیلومتر بر ساعت بر حسب نوع مسیر، فرض شده است. با توجه به این فرضیات و همچنین با اندازه‌گیری طول هر یک از مسیرها در شبکه و تعداد وسائل نقلیه‌ای که بین هر دو گره از شبکه در هر دقیقه عبور می‌کند، مدت زمان لازم برای عبور از هر



شکل ۲: نقشه بخش مرکزی شهر و رقمناسی منطقه مورد نظر (۳۱)



شکل ۳: مدل گرافی قسمتی از شبکه ترافیک شهری شاهروود منطبق بر نقشه شماره ۲

| 1 | 2 | 3 | 4 | 5 | 6 | 7 | 8 | 9 | 10 | 11 | 12 | 13 | 14 | 15 | 16 | 17 | 18 | 19 | 20 | 21 | 22 | 23 | 24 | 25 | 26 | 27 | 28 | 29 | 30 | 31 | |
|----|------|------|------|------|------|------|------|-----|-----|-----|-----|------|-----|-----|-----|------|-----|-----|-----|-----|------|------|------|------|------|------|------|------|------|------|------|
| 1 | 0 | 74 | 299 | 187 | 135 | 354 | 539 | 596 | 367 | 335 | 434 | 624 | 762 | 708 | 499 | 664 | 882 | 814 | 603 | 587 | 712 | 1155 | 977 | 879 | 1113 | 1127 | 1027 | 943 | 1183 | 858 | 1063 |
| 2 | 63 | 0 | 225 | 250 | 198 | 280 | 465 | 616 | 430 | 398 | 497 | 550 | 741 | 728 | 562 | 727 | 823 | 834 | 666 | 650 | 775 | 1175 | 1040 | 942 | 1176 | 1190 | 1090 | 1006 | 1246 | 921 | 1126 |
| 3 | 351 | 425 | 0 | 183 | 486 | 580 | 240 | 391 | 363 | 483 | 760 | 334 | 525 | 503 | 495 | 812 | 607 | 609 | 599 | 735 | 860 | 950 | 982 | 1027 | 1073 | 1226 | 1175 | 1091 | 1116 | 1006 | 1211 |
| 4 | 168 | 242 | 208 | 0 | 303 | 522 | 448 | 409 | 180 | 300 | 577 | 542 | 575 | 521 | 312 | 629 | 695 | 626 | 416 | 552 | 677 | 968 | 942 | 844 | 1078 | 1092 | 992 | 908 | 1134 | 823 | 1028 |
| 5 | 147 | 221 | 446 | 334 | 0 | 501 | 686 | 535 | 306 | 200 | 299 | 598 | 701 | 674 | 438 | 529 | 821 | 753 | 542 | 452 | 577 | 1092 | 842 | 744 | 978 | 992 | 892 | 808 | 1048 | 723 | 928 |
| 6 | 386 | 323 | 548 | 573 | 521 | 0 | 350 | 598 | 753 | 721 | 820 | 270 | 461 | 710 | 885 | 1050 | 543 | 776 | 989 | 973 | 1098 | 1117 | 1149 | 1262 | 1240 | 1393 | 1389 | 1329 | 1283 | 1244 | 1421 |
| 7 | 551 | 625 | 200 | 383 | 686 | 340 | 0 | 345 | 563 | 683 | 960 | 94 | 285 | 457 | 695 | 1012 | 367 | 563 | 799 | 935 | 1060 | 904 | 936 | 1049 | 1027 | 1180 | 1176 | 1196 | 1070 | 1206 | 1208 |
| 8 | 624 | 698 | 318 | 456 | 599 | 595 | 429 | 0 | 294 | 414 | 691 | 349 | 166 | 112 | 426 | 705 | 286 | 218 | 490 | 628 | 753 | 559 | 591 | 704 | 682 | 835 | 831 | 851 | 725 | 899 | 863 |
| 9 | 330 | 404 | 370 | 162 | 305 | 684 | 610 | 229 | 0 | 120 | 397 | 578 | 395 | 341 | 132 | 449 | 515 | 447 | 236 | 372 | 497 | 788 | 762 | 664 | 898 | 912 | 812 | 728 | 954 | 643 | 848 |
| 10 | 332 | 406 | 476 | 268 | 185 | 686 | 716 | 335 | 106 | 0 | 277 | 684 | 501 | 447 | 238 | 329 | 621 | 553 | 342 | 252 | 377 | 892 | 642 | 544 | 778 | 792 | 692 | 608 | 848 | 523 | 728 |
| 11 | 435 | 509 | 677 | 469 | 288 | 789 | 917 | 536 | 307 | 201 | 0 | 885 | 702 | 648 | 439 | 293 | 822 | 713 | 486 | 364 | 406 | 921 | 671 | 573 | 807 | 821 | 721 | 637 | 877 | 552 | 757 |
| 12 | 631 | 569 | 280 | 463 | 766 | 246 | 80 | 328 | 622 | 742 | 999 | 0 | 191 | 440 | 754 | 993 | 273 | 506 | 788 | 916 | 1041 | 847 | 879 | 992 | 970 | 1123 | 1119 | 1139 | 1013 | 1187 | 1151 |
| 13 | 761 | 752 | 455 | 593 | 736 | 429 | 263 | 137 | 431 | 551 | 828 | 183 | 0 | 249 | 563 | 840 | 120 | 353 | 625 | 763 | 888 | 694 | 726 | 839 | 817 | 970 | 966 | 986 | 860 | 1034 | 998 |
| 14 | 714 | 746 | 408 | 546 | 689 | 685 | 519 | 90 | 384 | 504 | 781 | 439 | 256 | 0 | 354 | 593 | 372 | 106 | 378 | 516 | 641 | 447 | 479 | 592 | 570 | 723 | 719 | 739 | 613 | 787 | 751 |
| 15 | 445 | 519 | 485 | 277 | 420 | 799 | 723 | 344 | 115 | 235 | 512 | 693 | 510 | 270 | 0 | 319 | 597 | 331 | 104 | 242 | 367 | 672 | 632 | 534 | 768 | 782 | 682 | 598 | 838 | 513 | 718 |
| 16 | 634 | 708 | 768 | 560 | 487 | 988 | 1008 | 605 | 398 | 302 | 262 | 937 | 771 | 515 | 283 | 0 | 686 | 420 | 193 | 71 | 113 | 628 | 378 | 280 | 514 | 528 | 428 | 344 | 584 | 259 | 464 |
| 17 | 870 | 820 | 531 | 702 | 845 | 497 | 331 | 246 | 540 | 660 | 937 | 251 | 109 | 328 | 595 | 720 | 0 | 233 | 505 | 643 | 768 | 574 | 606 | 719 | 697 | 850 | 846 | 866 | 740 | 914 | 878 |
| 18 | 807 | 881 | 503 | 639 | 782 | 763 | 597 | 185 | 477 | 597 | 749 | 517 | 351 | 95 | 362 | 487 | 266 | 0 | 272 | 410 | 535 | 341 | 373 | 486 | 464 | 617 | 613 | 633 | 507 | 681 | 645 |
| 19 | 535 | 609 | 575 | 367 | 510 | 889 | 815 | 412 | 205 | 325 | 477 | 744 | 578 | 322 | 90 | 215 | 493 | 227 | 0 | 138 | 263 | 568 | 528 | 430 | 664 | 678 | 578 | 494 | 734 | 409 | 614 |
| 20 | 563 | 637 | 697 | 489 | 416 | 917 | 937 | 534 | 327 | 231 | 339 | 866 | 700 | 444 | 212 | 77 | 615 | 349 | 122 | 0 | 125 | 640 | 390 | 292 | 526 | 540 | 440 | 356 | 596 | 271 | 476 |
| 21 | 683 | 757 | 817 | 609 | 536 | 1037 | 1057 | 654 | 447 | 351 | 370 | 986 | 820 | 564 | 332 | 108 | 735 | 469 | 242 | 120 | 0 | 515 | 265 | 167 | 401 | 415 | 315 | 231 | 471 | 146 | 351 |
| 22 | 1131 | 1205 | 827 | 963 | 1105 | 1087 | 921 | 509 | 801 | 920 | 939 | 841 | 675 | 419 | 686 | 677 | 590 | 324 | 596 | 689 | 569 | 0 | 272 | 385 | 123 | 276 | 272 | 352 | 166 | 440 | 304 |
| 23 | 980 | 1054 | 739 | 875 | 833 | 999 | 833 | 421 | 713 | 648 | 667 | 753 | 587 | 331 | 598 | 405 | 502 | 236 | 508 | 417 | 297 | 281 | 0 | 113 | 167 | 416 | 316 | 260 | 447 | 348 | 553 |
| 24 | 867 | 941 | 837 | 793 | 720 | 1097 | 931 | 519 | 631 | 535 | 554 | 851 | 685 | 429 | 516 | 292 | 600 | 334 | 426 | 304 | 184 | 379 | 98 | 0 | 265 | 331 | 231 | 147 | 428 | 235 | 440 |
| 25 | 1129 | 1203 | 888 | 1024 | 982 | 1148 | 982 | 570 | 862 | 797 | 816 | 902 | 736 | 480 | 747 | 554 | 651 | 385 | 657 | 566 | 446 | 114 | 149 | 262 | 0 | 249 | 149 | 229 | 280 | 317 | 407 |
| 26 | 1119 | 1193 | 1067 | 1045 | 972 | 1327 | 1161 | 749 | 883 | 787 | 806 | 1081 | 915 | 659 | 768 | 544 | 830 | 564 | 678 | 556 | 436 | 240 | 368 | 348 | 219 | 0 | 133 | 213 | 97 | 301 | 158 |
| 27 | 986 | 1060 | 974 | 912 | 839 | 1234 | 1068 | 656 | 750 | 654 | 673 | 988 | 822 | 566 | 635 | 411 | 737 | 471 | 545 | 423 | 303 | 200 | 235 | 215 | 86 | 100 | 0 | 80 | 197 | 168 | 258 |
| 28 | 906 | 980 | 972 | 832 | 759 | 1232 | 1066 | 654 | 670 | 574 | 593 | 986 | 820 | 564 | 555 | 331 | 735 | 469 | 465 | 343 | 223 | 284 | 233 | 135 | 170 | 184 | 84 | 0 | 281 | 88 | 293 |
| 29 | 1145 | 1219 | 970 | 1071 | 998 | 1230 | 1064 | 652 | 909 | 813 | 832 | 984 | 818 | 562 | 794 | 570 | 733 | 467 | 704 | 582 | 462 | 143 | 415 | 458 | 266 | 110 | 243 | 323 | 0 | 327 | 138 |
| 30 | 818 | 892 | 952 | 744 | 671 | 1172 | 1151 | 739 | 582 | 486 | 505 | 1071 | 905 | 649 | 467 | 243 | 820 | 554 | 377 | 255 | 135 | 369 | 318 | 220 | 255 | 269 | 169 | 85 | 325 | 0 | 205 |
| 31 | 1007 | 1081 | 1090 | 933 | 860 | 1350 | 1184 | 772 | 771 | 675 | 694 | 1104 | 938 | 682 | 656 | 432 | 853 | 587 | 566 | 444 | 324 | 263 | 502 | 409 | 353 | 134 | 267 | 274 | 120 | 189 | 0 |

شکل ۴: ماتریس نهایی $D = D(31)$ مربوط به گراف شکل شماره ۳

| | | | | | | | | | | | | | | | | | | | | | | | | | | | | | | | |
|----|---|---|---|---|----|----|----|----|----|----|----|----|----|----|----|----|----|----|----|----|----|----|----|----|----|----|----|----|----|----|----|
| 1 | 2 | 3 | 4 | 5 | 6 | 7 | 8 | 9 | 10 | 11 | 12 | 13 | 14 | 15 | 16 | 17 | 18 | 19 | 20 | 21 | 22 | 23 | 24 | 25 | 26 | 27 | 28 | 29 | 30 | 31 | |
| 2 | N | 1 | 2 | 1 | 2 | 3 | 3 | 4 | 5 | 5 | 6 | 8 | 9 | 20 | 13 | 14 | 15 | 10 | 20 | 18 | 24 | 21 | 27 | 27 | 28 | 30 | 31 | 21 | 30 | | |
| 3 | 4 | 1 | N | 3 | 1 | 12 | 3 | 3 | 4 | 9 | 10 | 7 | 12 | 8 | 9 | 20 | 12 | 14 | 15 | 10 | 20 | 18 | 18 | 21 | 22 | 29 | 28 | 30 | 22 | 21 | 30 |
| 4 | 4 | 1 | 4 | N | 1 | 2 | 3 | 9 | 4 | 9 | 10 | 7 | 8 | 8 | 9 | 20 | 13 | 14 | 15 | 10 | 20 | 18 | 24 | 21 | 27 | 27 | 28 | 30 | 22 | 21 | 30 |
| 5 | 5 | 1 | 2 | 1 | N | 2 | 3 | 9 | 10 | 5 | 5 | 7 | 8 | 8 | 9 | 20 | 13 | 14 | 15 | 10 | 20 | 25 | 24 | 21 | 27 | 27 | 28 | 30 | 31 | 21 | 30 |
| 6 | 2 | 6 | 2 | 1 | 1 | N | 12 | 13 | 4 | 5 | 5 | 6 | 12 | 8 | 9 | 20 | 12 | 17 | 15 | 10 | 20 | 18 | 18 | 23 | 22 | 29 | 25 | 30 | 22 | 21 | 29 |
| 7 | 4 | 1 | 7 | 3 | 1 | 12 | N | 7 | 4 | 9 | 10 | 7 | 12 | 8 | 9 | 20 | 12 | 14 | 15 | 10 | 20 | 18 | 18 | 23 | 22 | 29 | 25 | 24 | 22 | 21 | 29 |
| 8 | 4 | 1 | 8 | 9 | 10 | 12 | 12 | N | 8 | 9 | 10 | 13 | 8 | 8 | 9 | 20 | 13 | 14 | 18 | 19 | 20 | 18 | 18 | 23 | 22 | 29 | 25 | 24 | 22 | 21 | 29 |
| 9 | 4 | 1 | 4 | 9 | 10 | 2 | 3 | 9 | N | 9 | 10 | 13 | 8 | 8 | 9 | 20 | 13 | 14 | 15 | 10 | 20 | 18 | 24 | 21 | 27 | 27 | 28 | 30 | 22 | 21 | 30 |
| 10 | 5 | 1 | 4 | 9 | 10 | 2 | 3 | 9 | 10 | N | 10 | 13 | 8 | 8 | 9 | 20 | 13 | 14 | 15 | 10 | 20 | 25 | 24 | 21 | 27 | 27 | 28 | 30 | 31 | 21 | 30 |
| 11 | 5 | 1 | 4 | 9 | 11 | 2 | 3 | 9 | 10 | 11 | N | 13 | 8 | 9 | 11 | 13 | 19 | 20 | 16 | 16 | 25 | 24 | 21 | 27 | 27 | 28 | 30 | 31 | 21 | 30 | |
| 12 | 4 | 6 | 7 | 3 | 1 | 12 | 12 | 13 | 8 | 9 | 10 | N | 12 | 8 | 9 | 20 | 12 | 17 | 18 | 19 | 20 | 18 | 18 | 23 | 22 | 29 | 25 | 24 | 22 | 21 | 29 |
| 13 | 4 | 6 | 8 | 9 | 10 | 12 | 12 | 13 | 8 | 9 | 10 | 13 | N | 8 | 9 | 20 | 13 | 17 | 18 | 19 | 20 | 18 | 18 | 23 | 22 | 29 | 25 | 24 | 22 | 21 | 29 |
| 14 | 4 | 1 | 8 | 9 | 10 | 12 | 12 | 14 | 8 | 9 | 10 | 13 | 8 | N | 14 | 20 | 18 | 14 | 18 | 19 | 20 | 18 | 18 | 23 | 22 | 29 | 25 | 24 | 22 | 21 | 29 |
| 15 | 4 | 1 | 4 | 9 | 10 | 2 | 3 | 9 | 15 | 9 | 10 | 13 | 8 | 15 | N | 20 | 18 | 19 | 15 | 19 | 20 | 18 | 24 | 21 | 27 | 27 | 28 | 30 | 22 | 21 | 30 |
| 16 | 5 | 1 | 4 | 9 | 10 | 2 | 3 | 14 | 15 | 20 | 16 | 17 | 8 | 18 | 19 | N | 18 | 19 | 20 | 16 | 16 | 25 | 24 | 21 | 27 | 27 | 28 | 30 | 31 | 21 | 30 |
| 17 | 4 | 6 | 7 | 9 | 10 | 12 | 12 | 13 | 8 | 9 | 10 | 17 | 17 | 18 | 19 | 20 | N | 17 | 18 | 19 | 20 | 18 | 18 | 23 | 22 | 29 | 25 | 24 | 22 | 21 | 29 |
| 18 | 4 | 1 | 8 | 9 | 10 | 12 | 12 | 14 | 15 | 9 | 16 | 17 | 8 | 18 | 19 | 20 | 18 | N | 18 | 19 | 20 | 18 | 18 | 23 | 22 | 29 | 25 | 24 | 22 | 21 | 29 |
| 19 | 4 | 1 | 4 | 9 | 10 | 2 | 3 | 14 | 15 | 9 | 16 | 17 | 8 | 18 | 19 | 20 | 18 | 19 | N | 19 | 20 | 18 | 24 | 21 | 27 | 27 | 28 | 30 | 22 | 21 | 30 |
| 20 | 5 | 1 | 4 | 9 | 10 | 2 | 3 | 14 | 15 | 20 | 16 | 17 | 8 | 18 | 19 | 20 | 18 | 19 | N | 20 | 25 | 24 | 21 | 27 | 27 | 28 | 30 | 31 | 21 | 30 | |
| 21 | 5 | 1 | 4 | 9 | 10 | 2 | 3 | 14 | 15 | 20 | 16 | 17 | 8 | 18 | 19 | 21 | 18 | 19 | 20 | N | 21 | 25 | 24 | 21 | 27 | 27 | 28 | 30 | 31 | 21 | 30 |
| 22 | 4 | 1 | 8 | 9 | 10 | 12 | 12 | 14 | 15 | 20 | 16 | 17 | 8 | 18 | 19 | 21 | 18 | 22 | 18 | 21 | 24 | N | 25 | 23 | 22 | 29 | 25 | 27 | 22 | 28 | 29 |
| 23 | 5 | 1 | 8 | 9 | 10 | 12 | 12 | 14 | 15 | 20 | 16 | 17 | 8 | 18 | 19 | 21 | 18 | 23 | 18 | 21 | 24 | 25 | N | 23 | 23 | 27 | 25 | 24 | 22 | 28 | 30 |
| 24 | 5 | 1 | 8 | 9 | 10 | 12 | 12 | 14 | 15 | 20 | 16 | 17 | 8 | 18 | 19 | 21 | 18 | 23 | 20 | 21 | 24 | 25 | 24 | N | 23 | 27 | 28 | 24 | 26 | 28 | 30 |
| 25 | 5 | 1 | 8 | 9 | 10 | 12 | 12 | 14 | 15 | 20 | 16 | 17 | 8 | 18 | 19 | 21 | 18 | 23 | 18 | 21 | 24 | 25 | 25 | 23 | N | 27 | 25 | 27 | 22 | 28 | 26 |
| 26 | 5 | 1 | 8 | 9 | 10 | 12 | 12 | 14 | 15 | 20 | 16 | 17 | 8 | 18 | 19 | 21 | 18 | 22 | 20 | 21 | 30 | 29 | 25 | 28 | 27 | N | 26 | 27 | 26 | 28 | 26 |
| 27 | 5 | 1 | 8 | 9 | 10 | 12 | 12 | 14 | 15 | 20 | 16 | 17 | 8 | 18 | 19 | 21 | 18 | 23 | 20 | 21 | 30 | 25 | 25 | 28 | 27 | 27 | N | 27 | 26 | 28 | 26 |
| 28 | 5 | 1 | 8 | 9 | 10 | 12 | 12 | 14 | 15 | 20 | 16 | 17 | 8 | 18 | 19 | 21 | 18 | 23 | 20 | 21 | 30 | 25 | 24 | 28 | 27 | 27 | 28 | N | 26 | 28 | 30 |
| 29 | 5 | 1 | 8 | 9 | 10 | 12 | 12 | 14 | 15 | 20 | 16 | 17 | 8 | 18 | 19 | 21 | 18 | 22 | 20 | 21 | 30 | 29 | 25 | 28 | 22 | 29 | 26 | 27 | N | 31 | 29 |
| 30 | 5 | 1 | 4 | 9 | 10 | 2 | 12 | 14 | 15 | 20 | 16 | 17 | 8 | 18 | 19 | 21 | 18 | 23 | 20 | 21 | 30 | 25 | 24 | 28 | 27 | 27 | 28 | 30 | 31 | N | 30 |
| 31 | 5 | 1 | 8 | 9 | 10 | 12 | 12 | 14 | 15 | 20 | 16 | 17 | 8 | 18 | 19 | 21 | 18 | 22 | 20 | 21 | 30 | 29 | 25 | 28 | 27 | 31 | 26 | 30 | 31 | 31 | N |

شکل ۵: ماتریس نهایی $\pi = \pi^{(31)}$ مربوط به گراف شکل شماره ۳

جدول ۲: کوتاه‌ترین فاصله زمانی و مسیر متناظر با این فاصله زمانی بین برخی نقاط شبکه

| ردیف شروع | نقطه (ثانیه) | نقطه پایان فاصله زمانی | میزبان | کوتاه‌ترین |
|-----------|-----------------|------------------------|--------|---|
| 1 | 1 | 1113 | 25 | 1 → 5 → 10 → 20 → 21 → 30 → 28 → 27 → 25 |
| 2 | 2 | 794 | 15 | 29 → 31 → 30 → 21 → 20 → 19 → 15 |
| 3 | 2 | 650 | 20 | 2 → 1 → 5 → 10 → 20 |
| 4 | 3 | 566 | 19 | 31 → 30 → 21 → 20 → 19 → 18 → 19 → 21 → 18 → 20 |
| 5 | 4 | 912 | 4 | 27 → 28 → 30 → 21 → 20 → 19 → 15 → 10 → 9 → 4 |
| 6 | 5 | 914 | 30 | 17 → 18 → 19 → 20 → 21 → 30 |
| 7 | 6 | 820 | 17 | 30 → 28 → 24 → 23 → 18 → 17 |

سیاست کلی در بخش حمل و نقل در کشورهای پیشرفته، مورد توجه قرار گیرد. چنین سیستم‌هایی در حال حاضر در کشورهای پیشرفته با اقبال روبرو شده‌اند ولی در سایر کشورها به علت محدودیت اجرایی در هماهنگی سیستم‌های ارتباط رادیویی، مشکلات مربوط به تهیه نقشه‌های رقومی و گران تمام‌شدن محصول نهایی، این سیستم‌ها چندان رواج نیافته‌اند. در این مقاله روشی نوین مبتنی بر الگوریتم برنامه‌نویسی پویا برای تعیین مسیرهای گسیل وسایل نقلیه امداد و نجات و انتخاب سریع‌ترین مسیر در شبکه‌های پیچیده ترافیک شهری ارائه شده است. این روش قادر است با موفقیت کوتاه‌ترین فاصله زمانی بین هر دو تقاطع از شبکه ترافیکی و مسیر متناظر با این فاصله زمانی را تعیین کند. با اجرای این الگوریتم بر روی شبکه ترافیکی شهر شاهروود، سریع‌ترین مسیرهای دسترسی به همراه مدت زمان طی آن مسیرها بین هر دو تقاطع از شبکه، مشخص شده است.

با توجه به نتایج این مطالعه، به منظور توسعه بیشتر روش، راهکارهای زیر پیشنهاد می‌شود:

۱- در این مقاله از یک برنامه کامپیوتری ساده‌ی تهیه شده در *MS-Excel* استفاده شده است. به منظور کاربردهای عملی‌تر روش ارائه شده، می‌توان با تهیه یک برنامه کامپیوتری سطح بالا، قابلیت‌های اجرایی روش را افزایش داده و در مدت زمان بسیار کوتاه، نتیجه تغییر پارامترهای ورودی مانند طول، سرعت متوسط وسایل نقلیه، ظرفیت مسیر و میانگین تعداد

با استفاده از این الگوریتم می‌توان مهم‌ترین مشخصات عمومی جریان‌های ترافیکی یعنی پویایی و تأثیر بار ورودی به هر مسیر بر روی شبکه ترافیک را در تحلیل شبکه منظور نمود. با هر بار اجرای این الگوریتم نه فقط کوتاه‌ترین زمان ممکن بین هر دو گره دلخواه از گره‌های شبکه ترافیکی مشخص می‌شود بلکه مسیر وابسته به آن نیز تعیین می‌گردد.

پیچیدگی زمانی این الگوریتم متناظر با $\theta = f(v^3, e^3)$ است که در آن v و e به ترتیب، تعداد رئوس و تعداد یال‌های شبکه را نشان می‌دهند. به این ترتیب این الگوریتم نسبت به تعداد رئوس و یال‌ها حساس است و با افزایش آنها به پیچیدگی الگوریتم افزوده شده و مدت زمان اجرای آن افزایش می‌یابد. با این وجود امروزه با بهره‌گیری از پردازشگرهای پرسرعت مشکلی برای اجرای این الگوریتم حتی بر روی کامپیوترهای شخصی وجود ندارد.

از آنجا که الگوریتم مورد نظر یک الگوریتم پویا است، با دردست داشتن برنامه کامپیوتری تدوین شده می‌توان به تحلیل حساسیت مدل پرداخت و در مدت زمان بسیار کوتاه نتیجه تغییر پارامترهای ورودی را بر روی مسیر بهینه و مدت زمان طی آن مسیر مشاهده نمود.

بحث و نتیجه‌گیری

امروزه لزوم صرفه‌جویی در مصرف سوخت و انرژی، کاهش آلودگی هوا، افزایش ایمنی راه‌ها، ارتقای سطح زندگی مردم و بهبود زمان ارایه خدمات امداد و نجات در خیابان‌ها و بزرگراه‌های شلوغ شهری، موجب شده است تا سیستم‌های حمل و نقل هوشمند به عنوان یک

لحظه به مرکز کنترل ترافیک ارسال‌کرده و مرکز با توجه به بار ترافیکی موجود در مسیرهای مختلف، سریع‌ترین مسیر را انتخاب و در اختیار آنها قرار دهد.

۳- چنین سیستم‌هایی می‌توانند برای سازمان‌دهی مأموریت‌های ویژه پلیسی نیز مورد توجه قرار گیرد.

وسیله نقلیه ورودی در بازه زمانی مشخص را بر روی مسیر بهینه و مدت زمان طی آن مسیر بدست آورد.

۲- با استفاده از این روش و تعیین سریع‌ترین مسیر بین هر دو نقطه مفروض از شبکه ترافیک می‌توان سیستم‌های راهبری هوشمندی را توسعه داد که در آن وسائل نقلیه امدادی موقعیت و مسیر خود را در هر

References

1. Araghi F, Shahir Afrashte A. *Four volumes of Intelligent Transport Systems, Ministry of Roads and Transportation.* 1st Vol. Tehran; 2002, [In Persian]
2. Araghi F, Shahir Afrashte A. *Four volumes of Intelligent Transport Systems, Ministry of Roads and Transportation.* 3rd Vol, Tehran; 2002, [In Persian]
3. Araghi F, Shahir Afrashte A. *Four volumes of Intelligent Transport Systems, Ministry of Roads and Transportation.* 4th Vol, Tehran; 2002, [In Persian]
4. Araghi F, Shahir Afrashte A. Four volumes of Intelligent Transport Systems, Ministry of Roads and Transportation. 2nd Vol. Tehran; 2002, [In Persian]
5. <http://www.itsiran.ir> Accessed October 19, 2009
6. Katharina L. "Flows over time with flow-dependent transit times", PhD thesis, TU Berlin, 2003
7. Alsuwaiyel MH. *Algorithms: Design Techniques and Analysis*, World Scientific, 1999.
8. Goldberg AV, Tarjan RE. *A New Approach to the Maximum-Flow Problem*, Journal of the Association for Computing Machinery, 1988; 35: 921-940.
9. John O, et al. *System optimal routing of traffic flows with user constraints in network with congestion*, tech. report, TU Berlin, 2002.
10. Roughgarden T, Tardos E. *How bad is selfish routing*, Journal of the ACM, 2002; 49: 236-259.
11. Janson B. *Dynamic traffic assignment for urban road networks*, Transportation Research B, 1991; 25: 143–161
12. Ran B, Boyce DE. *Dynamic Urban Transportation Network Models: Theory and Implications for Intelligent Vehicle-Highway Systems*, Lecture Notes in Economics and Mathematical Systems 417, Springer, Berlin, 1994.
13. Jayakrishnan R, Tsai WK, Chen A. *A dynamic traffic assignment model with traffic-flow relationships*, Transportation Research C, 1995; 3: 51–72
14. Kaufman DE, et al. *User-equilibrium properties of fixed points in dynamic traffic assignment*, Transportation Research C, 1998; 6.
15. Carey M, Subrahmanian E. *An approach to modeling time-varying flows on congested networks*, Transportation Research B, 2000; 34: 157 – 183.
16. Kohler E., Skutella M. "Flows over time with load-dependent transit times", in Proceedings of the 13th Annual ACM-SIAM Symposium on Discrete Algorithms, San Francisco, 2002; 174–183
17. Jalali S.E., Norouzi M. *Determination of the optimal escape routes of underground mine networks in emergency cases*, Journal of Safety Science, 2009; 47: 1077–1082.
18. Bocchin P., Frangopol D.M., A *stochastic computational framework for the joint transportation network fragility analysis and traffic flow distribution under extreme events*, Probabilistic Engineering Mechanics 26, 2011; 182–193.
19. Lian H.E., Chen C., Chang J.W., Shen C.C., Jan R.H., *Shortest Path Routing with Reliability Requirement in Delay Tolerant Networks*, in First International Conference on Future Information Networks, 2009.
20. Güney E., Aras N., Altinel I.K., Ersoy C., *Efficient integer programming formulations for optimum sink location and routing in heterogeneous wireless sensor*

- nweworks*, Computer Networks 54: 2010; 1805–1822.
21. Vansteenwegen P., Souffriau W., Sorensen K., *Solving the mobile mapping van problem: A hybrid metaheuristic for capacitated arc routing with soft time windows*, Computers & Operations Research 37: 2010; 1870 – 1876.
22. Mühlbauer W., Uhlig S., Feldmann A., Maennel O., Quoitin B., Fu B., *Impact of routing parameters on route diversity and path inflation*, Computer Networks 54: 2010; 2506–2518.
23. Sokas A., *Algorithms and procedures of determining the shortest route in the graph*, The 7th International Conference TRANSBALTICA, Vilnius, Lithuania, 2011.
24. Rosen KH. *Discrete Mathematics and Its Applications*, 6th Edition, Mc Grow-Hill, 2006.
25. Don Taylor G. *Logistic Engineering Handbook*, CRC Publisher, 2007.
26. Qin X, et al. *A k-shortest-paths-based Algorithm for stochastic traffic assignment model and comparison of computation precision with existing methods*, The Eastern Asia Society for Transportation Studies, 2005; 5: 1218-1232.
27. Eppstein D. *Finding K Shortest Paths*, SIAM Journal on Computing, 1999; 28: 652-673.
28. Cormen TH, et al. *Introduction to Algorithms*, 2nd Edition, Mc Grow-Hill, 2001.
29. Neapolitan RE, Naeemipour K. *Foundation of Algorithms Using C++ Pseudo code*, 3rd Edition, Jones and Bartlett Publisher, 2004.
30. Gartner N, Messer CJ, Rathi AK. *Traffic flow theory*, a state-of-the-art Report, 1997.
31. Digital map of Shahroud city, Organization of House & Urban Development, 2009.

Developing a Graphical Algorithm to find the Shortest Rescue & Relief Paths in urban Traffic Network

Seyed Mohammad Ismail Jalali, Associate Professor, Shahrood University of Technology,
Shahrood, Iran

Corresponding author: **Mehdi Norouzi**, PhD candidate of Shahrood University of
Technology, Shahrood, Iran **Email:** mnorozi.mine@gmail.com

Seyed Farokh Forouhandeh, Assistant Professor, Shahrood University of Technology,
Shahrood, Iran

Mahya Sadat Yasini, MSc Student of Payam e Noor University of Shahr-e-Rey, Iran

Received: 2012-09-09

Accepted: 2013-02-19

Abstract

Background: Fluid and safe transportation is one of the necessary infrastructures for improvement of industries, enhancement of welfare level and relief services in each country. However, finding optimal routes for emergency relief services in a busy traffic network has a special significance. In recent years, a great interest for traffic modeling and determination of optimum route has been created in dynamic traffic networks for rescue and relief services due to improvement of intelligent transport systems.

Methods: In this library research paper, graphical algorithm has been developed in order to find the shortest accessing time and its corresponding path between a pair of given points in an urban traffic network. This algorithm has been composed of the Floyd-Warshall algorithm to find the shortest accessing time; the π algorithm to find the shortest path corresponding to the shortest accessing time; and also Davidson traffic function to evaluate necessary time to move from a vertex to next one on a certain path. Then, using field studies and collecting traffic data, the algorithm is implemented on the traffic network.

Findings: The described algorithm has been implemented on the traffic network of the downtown part of Shahrood city. Also, the shortest accessing time between each pairs of given points and its corresponding paths have been determined in order to rapid dispatch of relief vehicles.

Conclusion: according to the results, it is possible to develop intelligent navigation systems with applying the algorithm. Those systems may be particularly used to organize and dispatch rescue vehicles to accident region.

Keywords: rescue and relief, traffic, shortest accessing time